

## Modeling and Bioinformatics Investigations of Human Voltage-Gated Sodium Ion Channels

Ali Jahanbazi Jahan Abad<sup>1</sup>, Rahman Yolmeh<sup>1</sup>, Fereshteh Parto<sup>2</sup>, Abdorrahim Absalan<sup>1\*</sup>

<sup>1</sup>Shefa Neuroscience Research Center, KhatamAlanbia Hospital, Tehran, Iran.

<sup>2</sup>Food and Drug Laboratory, Food and Drug Administration, Qazvin University of Medical Sciences, Qazvin, Iran.

### Article Info:

Received: 19 Feb 2014

Accepted: 5 Apr 2014

## ABSTRACT

**Introduction:** Tertiary (3D) structure determination using X-ray diffraction crystallography is a time consuming method, needs special facilities and expert operators. 3D structure determination by bioinformatics software is worth in experimental research, especially for drug discovery purposes and evolutionary relationships. Using computational biology software and databases, we have determined probable 3D structure of human voltage-gated sodium ion channels (VGSCs) and their developmental associations. **Materials and Methods:** Amino acid sequences of VGSCs were obtained from Uniprot and used to predict their 3D structure using SWISS-MODEL server and by its definitive algorithm for protein basic local alignment search tool (BLAST)-(followed by visualization using Molegro Virtual Viewer software). Phylogenetic tree was plotted using Mega 5 application for VGSCs sequences. VGSCs interactions were determined by String-db server.

**Results:** According to the Neuron data-base, there are 9 types of human VGSCs named SCN1A-5A and SCN8A-11A. SWISS-MODEL software was just only able to predict some domains of VGSCs with high identity percentages. The identity percentages were variable for each VGSC and varied from 16.57% (SCN4A) to 100% (SCN2A, SCN5A). Blast results and drawing phylogenetic trees practice showed that animals, such as chimpanzee, gibbon, and gorilla have the most similar protein sequences. **Conclusion:** In most cases, modeling using SWISS-MODEL is not enough decisive for prediction of protein 3D structure. Thus, we propose that researchers use mentioned animals for experiments of VGSCs, characterized structures for bioinformatics and drug designing surveys. In this case, the results of animal trials could be generalized to human more precisely.

### Key words:

1. Protein Structure
- Tertiary
2. Computational
- Biology
3. Sodium Channels
4. Phylogeny

\*Corresponding Author: Abdorrahim Absalan

E-mail: a.r.absalan@gmail.com

## مدل‌سازی و مطالعه بیوانفورماتیکی کانال‌های سدیمی وابسته به ولتاژ نوع انسانی

علی جهانبازی جهان آباد<sup>\*</sup>، رحمان یلمه<sup>†</sup>، فرشته پرتو<sup>‡</sup>، عبدالرحیم آب سالان<sup>\*</sup>

<sup>\*</sup> مرکز تحقیقات علوم اعصاب شفا، بیمارستان خاتم الانبیاء، تهران، ایران.  
<sup>†</sup> آزمایشگاه غذا و دارو، معاونت غذا و دارو، دانشگاه علوم پزشکی قزوین، قزوین، ایران.

### اطلاعات مقاله:

تاریخ پذیرش: ۱۶ فوریه ۱۳۹۳

تاریخ دریافت: ۳۰ بهمن ۱۳۹۲

### چکیده

**مقدمه:** تعیین ساختار سوم پروتئین‌ها با استفاده از روش کریستالوگرافی اشعه X، روشنی زمان بر بوده که نیازمند تسهیلات خاص و اپراتورهای متخصص می‌باشد. تعیین ساختار سوم با استفاده از روش‌های بیوانفورماتیک برای مطالعات آزمایشگاهی و به ویژه اکتشاف داروها و ارتباطات تکاملی ارزشمند است. در مطالعه حاضر با استفاده از نرم‌افزارهای بیوانفورماتیکی و پایگاه‌های اطلاع رسانی، ساختارهای سوم انواع کانال‌های سدیمی انسان تعیین و ارتباطات تکاملی آن‌ها بررسی شد. **مواد و روش‌ها:** توالی‌های آمینو اسیدی کانال‌های سدیمی از Uniprot به دست آمد و از SWISS-MODEL جهت پیشگویی ساختار سوم استفاده شد. ساختار سوم این کانال‌ها با استفاده از نرم‌افزار SWISS-MODEL با استفاده از الگوریتم ایجاد شده برای Protein BLAST پیشگویی شدند. ساختارهای پیشگویی شده با استفاده از نرم‌افزار Molegro Virtual Viewer تصویربرداری شد. برای تعیین ارتباطات تکاملی انواع کانال‌های سدیمی از نرم‌افزار 5 Mega جهت رسم درخت فیلوزنی براساس توالی کانال‌ها، استفاده شد. شناسایی ارتباطات متقابل کانال‌های سدیمی وابسته به ولتاژ از طریق نرم‌افزار String db صورت گرفت. **یافته‌ها:** بر اساس اطلاعات پایگاه داده‌های نورون،<sup>۹</sup> نوع کانال یونی سدیم در انسان وجود دارد که به صورت SCN1A-5A و SCN8A-11A نام‌گذاری می‌شوند. نرم افزار SWISS-MODEL تنها قادر به پیشگویی برخی دُمین‌های کانال‌های سدیمی با درصد شناسایی بالا می‌باشد. درصد یکسانی توالی‌ها برای هر کانال‌های سدیمی وابسته به ولتاژ متفاوت و از ۱۶/۵٪ تا ۱۰۰ درصد (برای SCN4A و SCN2A) متغیر بود. نتایج حاصل از انجام هم‌ترازی توالی‌ها (BLAST) و ترسیم درخت فیلوزنیک، حاکی از آن است که پروتئین کانال سدیمی حیواناتی نظیر شامپانزه، میمون و گوریل نسبت به سایر جانوران، دارای درصد تشابه توالی بیشتری با انسان هستند. **نتیجه‌گیری:** در اغلب موارد SWISS-MODEL برای پیشگویی ساختار سه بعدی پروتئین‌های کانال سدیمی مناسب نمی‌باشد. بنابراین پیشنهاد می‌شود که در مدل‌های آزمایشگاهی مطالعات کانال‌های سدیمی و طراحی یا ارزیابی داروها بهتر است از حیوانات فوق الذکر استفاده شود. در این صورت نتایج حاصل از کارآزمایی‌های حیوانی قابلیت تعمیم بیشتری به انسان خواهد داشت.

### کلید واژه‌ها:

۱. ساختار سه بعدی پروتئین
۲. زیست شناسی محاسباتی
۳. کانال‌های سدیمی
۴. فیلوزنی

\* نویسنده مسئول: عبدالرحیم آب سالان

آدرس الکترونیکی: a.r.absalan@gmail.com

## مقدمه

از اطلاعاتی مانند String-db برای تعیین ارتباطات متقابل انواع کanal‌های سدیمی و هم‌بیانی آن‌ها استفاده شده است.

## مواد و روش‌ها

از آنجا که پروتئین‌های کanal سدیمی وابسته به ولتاژ نوع انسانی یا به کلی فاقد ساختار تعیین شده‌ای در بانک اطلاعات پروتئین بودند، یا فقط بخشی از ساختارشان شناسایی شده بود، از راه‌کار شبیه‌سازی ساختار سه بعدی پروتئین به منظور پیشگویی ساختارهای سه بعدی استفاده شد. انواع پروتئین‌های کanal سدیمی براساس اطلاعات بانک اطلاعاتی نورون به آدرس توالی آمینو اسیدی این پروتئین‌ها از پایگاه اطلاعاتی Uniprot <http://www.uniprot.org> به دست آمدند.

برای مدل‌سازی ساختار سه بعدی پروتئین‌ها، با توجه به این‌که الگوریتم‌های مدل‌سازی کنونی کار مدل‌سازی را مبتنی بر همترازی یک توالی آمینو اسیدی با توالی‌هایی که ساختارشان شناسایی شده است انجام می‌دهند، از امکانات موجود در پایگاه SWISS-MODEL به آدرس <http://swissmodel.expasy.org> استفاده شد. برای این منظور توالی‌های آمینو اسیدی کanal‌های سدیمی موجود در پایگاه اطلاعاتی Uniprot به نرم‌افزار ارائه گردید، ساختارهای مدل شده با استفاده از همترازی مدل‌های از پیش تعیین شده به دست آمد و در نرم افزار Molegro Virtual Viewer تصاویر آن‌ها نمایان سازی شد.

برای تعیین خویشاوندی ژنتیکی بین پروتئین‌های کanal سدیمی انسان با سایر موجودات از راه‌کار ترسیم دندروگرام فیلوزنیک استفاده شد. برای این منظور توالی آمینو اسیدی هر کدام از پروتئین‌های کanal سدیمی انسان به طور جداگانه در پایگاه اطلاعاتی Uniprot با سایر موجودات BLAST شد که نتایج آن در جدول ۱ نشان داده شده‌اند.

سپس توالی آمینو اسیدی پروتئین‌های موجوداتی که بیشترین امتیاز همسانی توالی را با انسان داشتند برای ترسیم دندروگرام در نرم‌افزار ۵ Mega استفاده شد. به علاوه برای تعیین واکنش متقابل این گیرنده‌ها از امکانات موجود در پایگاه اطلاعاتی String-db ver 9.05 استفاده گردید. این پایگاه اطلاعاتی، وجود یا عدم وجود هم‌بیانی ژن‌ها و حدود تقریبی فراوانی پروتئین در سلول‌های انسان را نیز نشان می‌دهد.

در این پژوهش از امکانات آنالیز ارتباط متقابل بین چند نام<sup>۲</sup> پروتئین‌های کanal یونی سدیم استفاده شد و آنالیز برای ارگانیسم انسان<sup>۳</sup> تعریف گردید. یکی دیگر از امکانات موجود در پایگاه String-db بررسی وجود یا عدم وجود هم‌بیانی ژن‌های مختلف است. از این امکان موجود در پایگاه برای بررسی هم‌بیانی ژن‌های کanal سدیمی در انسان بهره گرفته شد.

دردهای نوروپاتیک، ناشی از آسیب به اعصاب محیطی هستند که اغلب به صورت دردهای مزمن خود را نشان می‌دهند (۱). امروزه از مدل‌های حیوانی به طور فراوان برای بررسی مکانیسم‌های مولکولی دخیل در ایجاد دردهای نوروپاتیک استفاده می‌گردد (۲، ۳).

کanal‌های سدیمی نقش ویژه‌ای در کنترل سیستم عصبی دارند به طوری که تغییر در توزیع و بیان کanal‌های یونی سدیم در ایجاد دردهای مزمن نقش دارند و اهدافی برای مهار فرایند درد هستند (۴). این کanal‌ها مسئول ایجاد پتانسیل عمل در بیشتر سلول‌های عصبی پستانداران هستند که در پاسخ به دپلاریزاسیون غشاء، به طور موقت باز می‌شوند تا یون‌های سدیم به درون سلول وارد شوند. این کanal‌ها، کمپلکس پروتئینی متشکل از یک زیر واحد آلفا و یک زیر واحد بتا هستند (۵، ۶). انواع کanal‌های سدیمی دارای دمین‌های مشترک و شباهت‌های قابل توجهی می‌باشند و رفتار آن‌ها بسته به ایزوفرم‌شان متغیر است. در بیشتر موارد نورون‌ها چندین ایزوفرم از کanal‌های سدیمی را بیان می‌کنند. لذا عملکرد منحصر به فرد هر نورون می‌تواند ناشی از اختلاف در میزان بیان هر یک ایزوفرم‌های کanal سدیمی نورون باشد (۷).

در حال حاضر برای تعیین ساختار پروتئین‌ها از روش‌های کریستالوگرافی اشعه X و اسپکتروسکوپی NMR<sup>۱</sup> چند بعدی استفاده می‌گردد (۸). لیکن این تکنیک‌ها ضعف‌های خاص خود را دارند، از جمله این که تهیه کریستال‌های با کیفیت بسیار بالا کار بسیار دشواری است و احتمال دارد پروتئین، فرم دینامیک محلول خود را از دست بدهد. در روش NMR نیز تفسیر منحنی‌ها برای پروتئین‌های بزرگ بسیار دشوار و زمان بر است لذا بیشتر برای پروتئین‌های کوچک مورد استفاده قرار می‌گیرد. نتیجه این که تعیین ساختار کامل بسیاری از پروتئین‌ها هنوز عملی نشده است (۹).

راه‌کاری که امروزه به یاری پژوهشگران آمده است، بهره‌گیری از روش‌های تئوریکال و محاسباتی است. مدل‌سازی ساختار پروتئین‌ها نیازمند کامپیوتراهای بسیار حرفه‌ای می‌باشد. در این خصوص می‌توان به یکی از پرکاربردترین نرم‌افزارهای مورد استفاده برای مدل‌سازی، یعنی نرم افزار SWISS-MODEL به آدرس <http://swissmodel.expasy.org> اشاره کرد (۱۰).

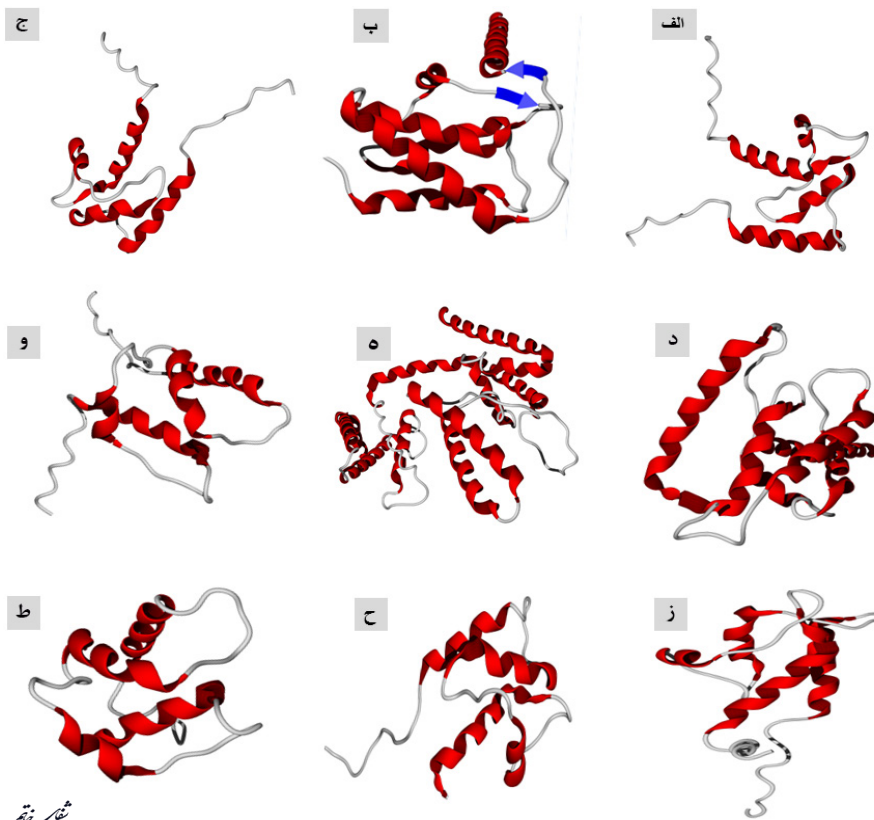
در این پژوهش ساختار کanal‌های سدیمی مختلف در سلول‌های عصبی با استفاده از نرم‌افزار SWISS-MODEL مدل‌سازی شدند تا قابلیت این نرم‌افزار در پیشگویی ساختار این پروتئین‌ها مشخص گردد. همچنین برای این که مشخص شود کدام موجودات تشابه توالی پروتئینی بیشتری با انسان دارند از آزمون همترازی توالی‌های (BLAST) پروتئین کanal سدیمی موجودات و ترسیم درخت فیلوزنیک استفاده گردید. به علاوه

<sup>1</sup> Nuclear magnetic resonance spectroscopy

<sup>2</sup> Multiple Name

<sup>3</sup> Human

# شکر ختم



تصویر ۱- ساختارهای مدل‌سازی شده کانال‌های سدیمی دریچه‌دار وابسته به ولتاژ انسانی با استفاده از نرم‌افزار SWISS MODEL. تنها ساختاری که بیشترین تشابه توالی (همولوژی) را با پروتئینی دارد و به عنوان الگو از روی آن ساختارش پیشگویی شده، نشان داده شده است. (الف) ساختار سه بعدی SCN1A (ب) ساختار سه بعدی SCN2A (ج) ساختار سه بعدی SCN3A (د) ساختار سه بعدی SCN4A (ه) ساختار سه بعدی SCN5A (و) ساختار سه بعدی SCN8A (ز) ساختار سه بعدی SCN10A (ط) ساختار سه بعدی SCN9A (ح) ساختار سه بعدی SCN11A.

همسانی ۵۷/۹۰٪ (ب) ساختار سه بعدی SCN2A شامل آمینو اسید ۱۷۸۸ تا ۱۹۲۹ با درصد همسانی ۱۰۰٪ (ج) ساختار سه بعدی SCN3A شامل آمینو اسید ۱۷۷۲ تا ۱۸۷۷ با درصد تشابه ۹۷٪/۱۷٪ (د) ساختار سه بعدی SCN4A شامل آمینو اسید ۱۶۰۲ تا ۱۷۵۴ با درصد تشابه ۷۷٪/۷۸٪ (ه) ساختار سه بعدی SCN5A شامل آمینو اسید ۱۷۷۶ تا ۱۹۲۸ با درصد تشابه ۱۰۰٪ (و) ساختار سه بعدی SCN8A شامل آمینو اسید ۱۷۶۷ تا ۱۸۷۲ با درصد تشابه ۸۳٪/۰۲٪ (ز) ساختار سه بعدی SCN9A شامل آمینو اسید ۱۷۶۱ تا ۱۸۶۶ با درصد تشابه ۲۵٪/۹۵٪ (ح) ساختار سه بعدی SCN10A شامل آمینو اسید ۱۷۲۳ تا ۱۸۱۵ با درصد تشابه ۷۷٪/۷۲٪ (ط) ساختار سه بعدی SCN11A شامل آمینو اسید ۱۶۰۵ تا ۱۶۹۷ با درصد تشابه ۴۲٪/۷۷٪ می‌باشند.

**هم ترازی توالی‌های پروتئین کانال‌های سدیمی وابسته به ولتاژ نوع انسانی با سایر موجودات**

نتایج مربوط به توالی پروتئینی انواع مختلف این کانال‌ها در انسان در مقایسه با جانورانی نظیر شامپانزه، میمون، گوریل، خرگوش، موش و موش صحرایی در جدول ۱ نشان داده شده است. در این جدول تنها بالاترین امتیازهای آزمون BLAST نشان داده شده‌اند. نتایج حاصل در برخی موارد حاکی از وجود تفاوت‌های قابل ملاحظه بین همسانی توالی انواع مختلف این کانال‌های یونی در انسان نسبت به موجودات ذکر شده به خصوص موش صحرایی می‌باشد.

## یافته‌ها

### ارزیابی قابلیت و میزان موفقیت پیشگویی ساختارهای سه بعدی کانال‌های سدیمی

انواع کانال‌های سدیمی حساس به ولتاژ طبق پایگاه اطلاعاتی نورون شامل ۹ نوع مختلف می‌باشند که عبارتند از: SCN1A الى SCN11A و SCN8A الى SCN5A. نتایج حاصل از انجام آزمون BLAST نشان داد که درصد همسانی توالی ساختارهای سوم پیشگویی شده توسط نرم‌افزار SWISS-MODEL برای هر کدام از این کانال‌ها متغیر بوده و به این شرح می‌باشند:

SCN1A (٪۱۸/۵-۹۰/۵٪), SCN2A (٪۱۸/۵-۱۰۰٪), SCN3A (٪۱۸/۵-۹۷/۱٪), SCN4A (٪۱۶/۵٪-۷۷/٪۷۸), SCN5A (٪۱۸/۰-۳-۱۰۰٪), SCN8A (٪۱۸/٪۸۷-۸۳/٪۰۲), SCN9A (٪۲۰/٪۰-٪۹۵/٪۲۵), SCN10A (٪۱۹/٪۸-٪۸۱/٪۷٪), SCN11A (٪۲۱/٪۰-٪۷٪/٪۴٪).

ساختارهای مدل‌سازی شده در تصویر ۱ نشان می‌دهند که این ساختارها عمدها دارای ساختار دوم آلفا هلیکس هستند و از این رو از دسته پروتئین‌های تمام آلفا محسوب می‌شوند. در این شکل ساختارهای نشان داده شده مربوط به (الف) ساختار سه بعدی SCN1A شامل آمینو اسید ۱۷۸۷ تا ۱۸۹۲ با درصد

# مقاله پژوهشی

دوره دوم، شماره دوم، بهار ۱۳۹۳

جدول ۱- مقایسه همسانی توالی آمینو اسیدی انواع کانال‌های دریچه‌دار سدیمی سلول‌های عصبی انسان با سایر جانوران.

نام پروتئین کاتالی	موجود	طول توالی	درصد همسانی توالی
SCN1A	انسان	۲۰۹	%۱۰۰
H2QJX2	شامپانزه	۲۰۹	%۹۹
G7PKQ4	بیرون	۲۰۸	%۹۹
G1SSP8	خرگوش	۲۰۹	%۹۹
A2APX8	موش	۲۰۹	%۹۸
SCN1A	موس صحرایی	۲۰۹	%۹۸
G3QRR8	گوریل لولاد	۱۹۵۷	%۹۷
نام پروتئین کاتالی	موجود	طول توالی	درصد همسانی توالی
SCN3A	انسان	۲۰۰	%۱۰۰
H2RAZ9	شامپانزه	۲۰۰	%۹۹
G1T4K1	خرگوش	۲۰۰۶	%۹۷
A2AS15	موس	۱۹۴۷	%۹۵
SCN3A	موس صحرایی	۱۹۵۱	%۹۵
نام پروتئین کاتالی	موجود	طول توالی	درصد همسانی توالی
SCN5A	انسان	۲۰۱۶	%۱۰۰
H2QMB5	شامپانزه	۲۰۱۶	%۹۹
G3RB05	گوریل لولاد	۲۰۲۰	%۹۹
G7NYK0	بیرون	۲۰۱۷	%۹۸
A6N7T7	موس صحرایی	۲۰۱۶	%۹۶
K3W4N7	موس	۲۰۲۰	%۹۵
نام پروتئین کاتالی	موجود	طول توالی	درصد همسانی توالی
SCN9A	انسان	۱۹۸۸	%۱۰۰
H2QIX3	شامپانزه	۱۹۷۷	%۹۹
F7A8X1	بیرون	۱۹۸۹	%۹۸
SCN9A	خرگوش	۱۹۸۴	%۹۴
SCN9A	موس صحرایی	۱۹۸۴	%۹۳
نام پروتئین کاتالی	موجود	طول توالی	درصد همسانی توالی
SCNBA	انسان	۱۷۹۱	%۱۰۰
H2QMB6	شامپانزه	۱۷۹۱	%۹۹
G3QUM3	گوریل لولاد	۱۷۹۱	%۹۹
G1SFB0	خرگوش	۱۷۷۵	%۹۷
SCNBA	موس صحرایی	۱۷۶۵	%۹۳

نام پروتئین کاتالی	موجود	طول توالی	درصد همسانی توالی
SCN2A	انسان	۲۰۰۵	%۱۰۰
H2R6F6	شامپانزه	۲۰۰۵	%۹۹
G1U7U1	خرگوش	۲۰۰۶	%۹۹
G3SJ57	گوریل لولاد	۲۰۱۴	%۹۹
B1AWN6	بیرون	۲۰۰۶	%۹۸
SCN2A	موس صحرایی	۲۰۰۵	%۹۷
نام پروتئین کاتالی	موجود	طول توالی	درصد همسانی توالی
SCN4A	انسان	۱۸۳۴	%۱۰۰
G3SA24	بیرون	۱۸۳۸	%۹۹
G3R9Y5	گوریل لولاد	۱۸۴۶	%۹۹
G1SLL9	خرگوش	۱۸۴۶	%۹۷
SCN4A	موس	۱۸۴۱	%۹۷
SCN4A	موس صحرایی	۱۸۴۰	%۹۷
H2QDN9	شامپانزه	۱۶۶۰	%۸۹
نام پروتئین کاتالی	موجود	طول توالی	درصد همسانی توالی
SCN8A	انسان	۱۹۶۰	%۱۰۰
G7PIB6	بیرون	۱۹۶۶	%۹۹
G3R1C4	گوریل لولاد	۱۹۶۰	%۹۹
F7D6H8	موس	۱۹۷۸	%۹۹
SCN8A	موس صحرایی	۱۹۷۸	%۹۹
G1TJH9	خرگوش	۱۹۹۱	%۹۸
نام پروتئین کاتالی	موجود	طول توالی	درصد همسانی توالی
SCNAA	انسان	۱۹۵۶	%۱۰۰
H2R1N2	شامپانزه	۱۹۵۶	%۹۹
G7NYJ9	بیرون	۱۹۵۶	%۹۸
G3QUB0	گوریل	۱۹۵۷	%۹۹
SCNAA	موس	۱۹۵۸	%۹۷
SCNAA	موس صحرایی	۱۹۵۶	%۹۷

## دسته‌بندی و ارزیابی فیلوزنیک کانال سدیمی وابسته به ولتاژ نوع انسانی

بر اساس نتایج آنالیز دندروگرام فیلوزنیک (تصویر ۲)، به طور کلی می‌توان کانال سدیمی وابسته به ولتاژ را به دو دسته طبقه بندی نمود. یک دسته شامل انواع ۱، ۳ و ۹ که از نظر تکاملی به هم نزدیکتر می‌باشند؛ همچنین کانال سدیمی نوع ۸ و ۱۰ تنها حدود ۲۶ درصد با سه کانال سدیمی فوق الذکر و با یکدیگر خویشاوندی دارند. دسته دوم شامل کانال‌های سدیمی نوع ۴ و ۵ با خویشاوندی بسیار بالا بوده

# شناخت

استفاده شده و عملکرد این نرمافزار نیز مورد ارزیابی قرار گرفته است. این نرمافزار در مطالعات ساختارشناسی فراوانی مورد استفاده قرار گرفته و بسیاری از محققین در پیشگویی ساختار سه بعدی پروتئین‌ها از آن بهره می‌گیرند (۱۱-۱۴).

هرچند نرمافزارهای متعددی برای پیشگویی ساختار پروتئین‌ها موجود است لیکن سادگی کار با این نرمافزار، بهبود و ارتقاء آن، عدم نیاز به ابرکامپیوترها به دلیل آنلاین بودن نرمافزار و بانک اطلاعاتی غنی این نرمافزار (۱۵) آن را کاندید مناسبی برای این قبیل مطالعات نموده است. برای مثال Wendt و همکاران از این نرمافزار برای پیشگویی ساختار زیروحد کربوکسیل ترانسفاز که نوعی پمپ سدیمی در باکتری می‌باشد (۱۶) و یا Hazama و همکاران برای پیشگویی ساختار پروتئین ناقل آب AQP6 از آن سدیمی وابسته به ولتاژ در نوعی مگس، تأثیر جهش ژنی و تغییر در توالی این پروتئین را عاملی برای مقاومت به سم دفع آفت نباتی دی کلرو دی فنیل تری کلرواتان (DDT) بر می‌شمارند. آن‌ها برای مدل‌سازی ساختار پروتئین مورد نظرشان از نرمافزار SWISS-MODEL بهره برده‌اند (۱۷).

تفاوت مطالعه ما با این مطالعه در این است که این محققین تنها یک نوع پروتئین کanal سدیمی وابسته به ولتاژ را مدل‌سازی کرده‌اند که این پروتئین از نوع غیرانسانی می‌باشد، در حالی که در مطالعه ما همه اندام شناخته شده و آن هم از نوع انسانی، مدل‌سازی گردیده‌اند. اهمیت مدل‌سازی و پیشگویی ساختار سه بعدی پروتئین‌های باطنی از مانند ارزیابی مکانیسم‌های مولکولی، واکنش متقابل ترکیبات شیمیایی با ساختارهای پروتئینی، تفسیر مولکولی مطالعات مداخله‌ای (۱۹)، طراحی یا غربالگری داروها (۲۰) و طراحی مطالعات و تصمیم‌گیری برای مطالعات آینده کاربرد دارد.

با توجه به این‌که عملکرد نرم افزار SWISS-MODEL از طریق همتراز کردن توالی پروتئین مورد نظر با پروتئین‌های مشابه تعیین ساختار شده می‌باشد لذا نتایج مطالعه ما نشان می‌دهند که این نرم افزار قادر به تعیین ساختار کامل هیچ یک از انواع این کanal‌های سدیمی نمی‌باشد و تنها توالی‌های کوچکی از انواع این کanal‌های سدیمی را پیشگویی می‌کند. انتظار می‌رود طی سال‌های آینده با بهبود الگوریتم‌های برنامه‌نویسی نرم‌افزارهای کامپیوتری به مرور این نقص نرم‌افزار تا اندازه‌های برطرف گردد.

عموماً در مطالعاتی که استفاده از انسان محدودیت دارد از مدل‌های حیوانات آزمایشگاهی بهره می‌برند. استفاده از حیوانات به عنوان مدل‌های مطالعاتی برای بیماری‌های انسان یا انجام فازهای مطالعاتی طراحی یک دارو مرسوم است. موش و موش صحرایی به عنوان معمول ترین مدل‌های حیوانی برای انسان مورد استفاده قرار می‌گیرند (۲۱)، لیکن همترازی توالی

لیکن کanal نوع ۲ حدود ۶۰ درصد با این دو کanal و کanal نوع ۱۱ حدود ۴۶ درصد با کanal‌های نوع ۲، ۴ و ۵ خویشاوندی دارد. ارزیابی تعاملات و میزان بیان پروتئین‌های کanal سدیمی وابسته به ولتاژ نوع انسانی

براساس داده‌های پایگاه اطلاعاتی String-db، امکان واکنش متقابل بین کanal‌های یونی SCN8A با SCN2A، SCN3A با SCN5A و SCN3A و همچنین SCN5A با SCN10A وجود دارد، همچنین از بین انواع کanal‌های سدیمی، SCN1A بیش از سایر انواع و SCN4A کمتر از سایر انواع در سلول‌های انسانی سنتز می‌شود (تصویر ۳).

ارزیابی همبیانی کanal‌های سدیمی وابسته به ولتاژ

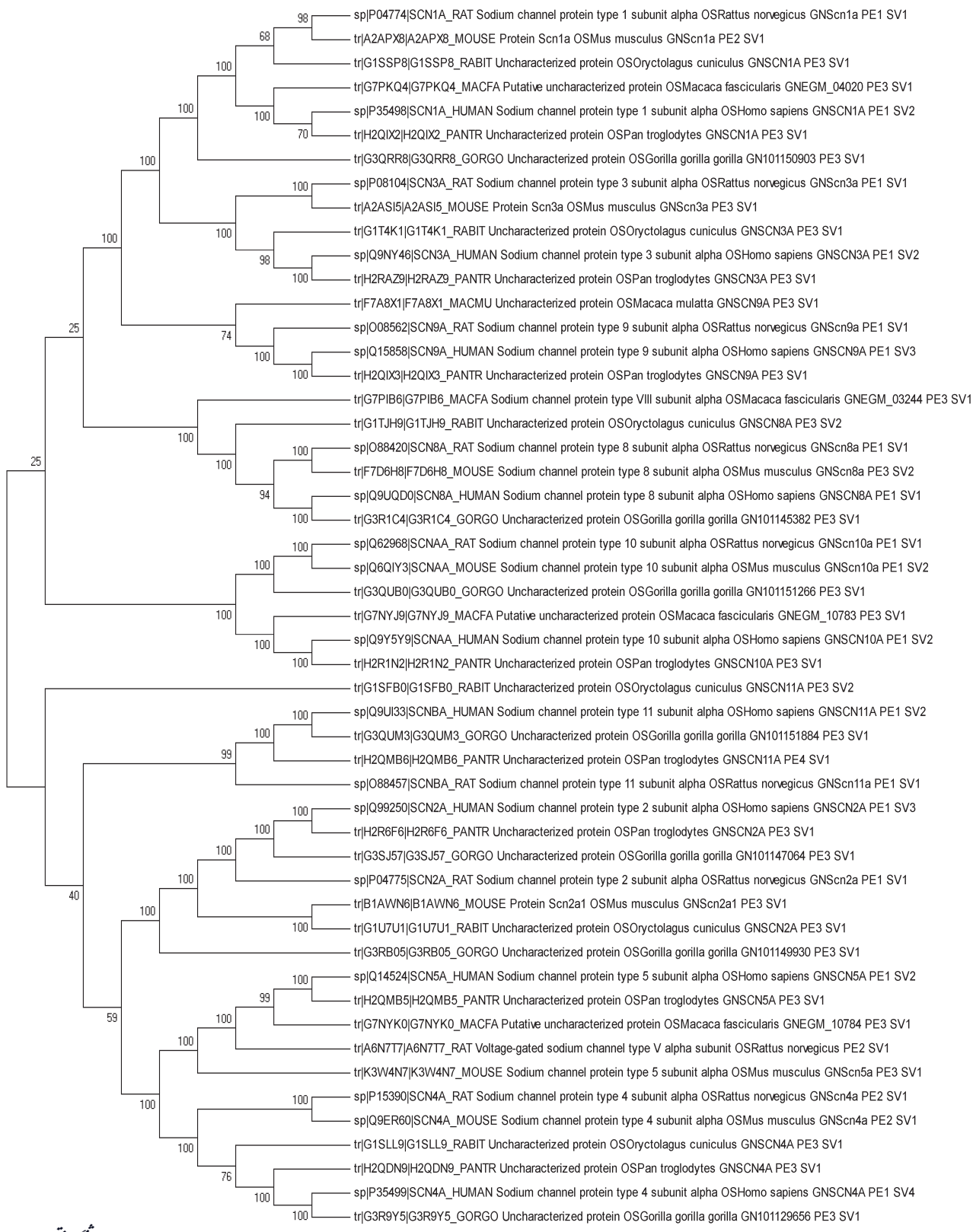
ارزیابی همبیانی کanal‌های سدیمی وابسته به ولتاژ در پایگاه اطلاعاتی String-db، نشان داد که تنها بین SCN3A با SCN2A در انسان (نمودار سمت چپ تصویر ۴) و بین SCN2A با SCN1A و SCN8A و همچنین بین SCN1A با SCN8A در برخی موجودات دیگر همبیانی وجود دارد (نمودار سمت راست تصویر ۴).

## بحث و نتیجه‌گیری

پژوهشگران نشان داده‌اند که کanal‌های سدیمی نقش ویژه‌ای در کنترل سیستم عصبی دارند و تغییر در بیان و توزیع آن‌ها می‌تواند منجر به ایجاد دردهای نوروپاتیک شود (۴). داشتن اطلاعات پایه در خصوص این کanal‌های یونی می‌تواند برای مقاصد مطالعاتی و درمانی راه‌گشای پژوهشگران باشد. به طور کلی نتایج بررسی بیونفورماتیک کanal‌های سدیمی وابسته به ولتاژ نوع انسانی به ما نشان داد که این پروتئین‌ها عمده‌اً از نوع پروتئین‌های برای پیشگویی هستند. نرم افزار SWISS-MODEL قدرت چندانی برای پیشگویی ساختارهای سه بعدی پروتئین براساس توالی آن‌ها ندارد. بیشترین میزان تشابه توالی‌های آمینو اسیدی کanal‌های سدیمی وابسته به ولتاژ بین انسان و حیواناتی مانند گوریل، شامپانزه و میمون وجود دارد و در موارد کمتری تشابه بین توالی‌های آمینو اسیدی پروتئین‌های انسانی با موش و موش صحرایی وجود دارد. از نظر تکاملی انواع کanal‌های سدیمی با یکدیگر شباهت یا تفاوت‌های قابل ملاحظه‌ای دارند که طی مطالعات داروشناسی و تداخلات تأثیر داروها این تشابه‌ها و تفاوت‌ها را باید در نظر گرفت. ساخت برخی از این کanal‌های یونی می‌تواند به طور همزمان در سلول اتفاق بیافتد.

امروزه مدل‌سازی ساختار پروتئین‌ها یکی از رایج‌ترین روش‌های مورد استفاده برای پیشگویی ساختار پروتئین‌هایی است که تاکنون تعیین ساختار نشده‌اند (۱۰).

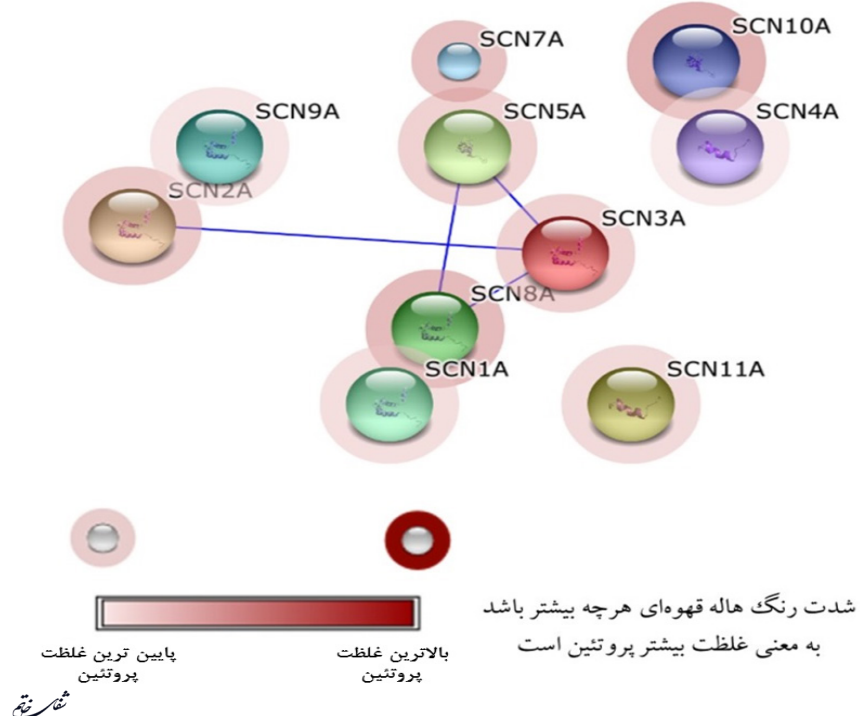
با توجه به این‌که ساختار کامل هیچ یک از ۹ نوع کanal سدیمی موجود در سلول‌های عصبی مورد شناسایی قرار نگرفته است لذا در این تحقیق از نرم افزار آنلاین SWISS-MODEL در پیشگویی ساختار هر یک از این کanal‌ها



میرخ

تصویر ۲- ترسیم دندروگرام فیلوزنیک برای تعیین خوبیشاوندی ژنتیکی بین پروتئین‌های کانال سدیمی وابسته به ولتاژ نوع انسانی با سایر موجودات. برای این منظور توالی آمینو اسیدی هر پروتئین به طور جداگانه در پایگاه اطلاعاتی Uniprot با سایر موجودات BLAST شد که نتایج آن در جدول ۱ نشان داده شده‌اند. سپس توالی آمینو اسیدی پروتئین‌های موجوداتی که بیشترین اختصار همسانی توالی را با انسان داشتند برای ترسیم دندروگرام در نرم‌افزار Mega 5 مورد استفاده قرار گرفتند. هر چه فاصله نقاط شاخه بین دو پروتئین مورد نظر کمتر باشد، آن نقاط از نظر تکاملی ارتباط نزدیک‌تری با یکدیگر دارند.

# شناخت

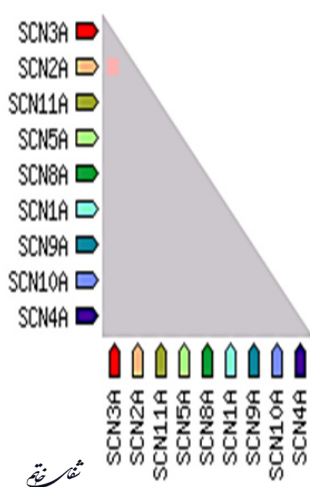


تصویر ۳- تعیین اثر متقابل انواع کانال‌های سدیمی وابسته به ولتاژ و غلظت آنها در سلول‌های انسانی براساس اطلاعات موجود در پایگاه اطلاعاتی String-db خطوط آبی ارتباط عملکردی بین کانال‌های یونی است و هالة قهوه‌ای رنگ نشان‌دهنده مقدار تقریبی هر پروتئین، درون سلول‌های انسانی می‌باشد.

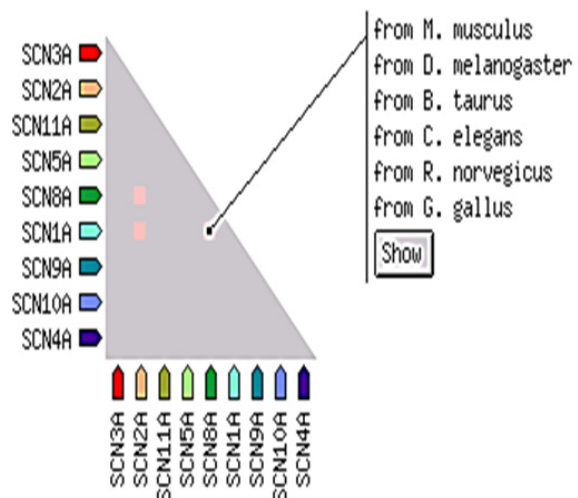
## - Coexpression -

association score 0.0 1.0

... from Coexpression in  
Homo sapiens:



... from Coexpression in  
other species (transferred):



تصویر ۴- ارزیابی همبانی کانال‌های سدیمی وابسته به ولتاژ نوع انسانی و برخی موجودات دیگر. براساس آنالیز همبانی ژن‌ها در پایگاه اطلاعاتی String-db، تنها بین SCN3A با SCN2A در انسان (نمودار سمت چپ)، و بین SCN8A با SCN2A و SCN1A با SCN8A و همچنین بین SCN1A با SCN8A موجودات نشان داده شده در حاشیه نمودار سمت راست همبانی وجود دارد (نمودار سمت راست).

امروزه بیشتر مطالعات در این زمینه روی موش صحرایی انجام می‌گیرد (۲، ۳).

براساس نتایج به دست آمده از پایگاه اطلاعاتی String-db، امکان تعاملات اتصالی بین انواع کانال‌های سدیمی وجود دارد. این موضوع ممکن است نقشی در انتقال پیام‌های عصبی داشته باشد. برخی انواع کانال‌های سدیمی ممکن است دارای بیان هم‌زمان (هم‌بیانی) باشند، لذا توزیع انواع آن‌ها درون سلول‌های عصبی می‌تواند رفتار فیزیولوژیک یک سلول عصبی را تحت تأثیر قرار دهد. مقدار بیان ژن انواع کانال‌های سدیمی نیز متغیر است و لذا نقش و اهمیت این کانال‌ها تحت تأثیر میزان بیان ژن کانال‌ها قرار می‌گیرد.

پیشنهاد می‌شود پژوهشگران علاقه‌مند در صورت امکان از موجوداتی که خویشاوندی ژنتیکی بیشتری با انسان دارند در مطالعات کارآزمایی حیوانی (Animal Trial) استفاده کنند. هرچند این کار بسیار دشوار است لیکن انتظار می‌رود استفاده از حیواناتی که از نظر فیلوجنیک خویشاوندی کمتری با انسان دارند می‌تواند نتایج غیرقابل تعمیم به انسان را به دنبال داشته باشد.

نشان داد که در مورد برخی کانال‌های سدیمی، تفاوت قابل ملاحظه‌ای بین انواع آن وجود دارد.

نتایج همترازی توالی‌های موجودات مختلف در مطالعه ما نشان داد که توالی برخی انواع کانال‌های سدیمی با برخی دیگر از انواع کانال سدیمی تشابه قابل ملاحظه و با مابقی تفاوت قابل ملاحظه‌ای دارند. توالی آمینو اسیدی کانال‌های سدیمی وابسته به ولتاژ نوع انسانی در اغلب موارد تشابه توالی بیشتری با موجوداتی مانند شامپانزه، میمون و گوریل نسبت به موجوداتی مانند موش صحرایی، موش و خرگوش دارند. به طور مثال نتایج مطالعه ما در مورد SCN11A نشان داد که این کانال یونی در شامپانزه دارای درصد تشابه ۹۹٪ با انسان می‌باشد درحالی‌که موش صحرایی دارای درصد تشابه ۷۳٪ می‌باشد. در مورد اغلب کانال‌های سدیمی تفاوت بین انسان با شامپانزه، میمون، گوریل، خرگوش، موش صحرایی و موش شاید به وضوح کانال نوع SCN11A نباشد لیکن باز در بیشتر موارد این تفاوت دیده می‌شود. با این وجود نباید فراموش کرد که کار با حیوانات بزرگتر در آزمایشگاه تحقیقاتی بسیار دشوارتر و پرهزینه‌تر از کار با موش و موش صحرایی است و اغلب محققین ترجیح می‌دهند با این قبیل حیوانات کار کنند.

## منابع

1. Arner S, Meyerson B. Lack of analgesic effect of opioids on neuropathic and idiopathic forms of pain. *Pain*. 1988; 33(1): 11-23.
2. Bennett GJ, Xie Y-K. A peripheral mononeuropathy in rat that produces disorders of pain sensation like those seen in man. *Pain*. 1988; 33(1): 87-107.
3. Seltzer Ze, Dubner R, Shir Y. A novel behavioral model of neuropathic pain disorders produced in rats by partial sciatic nerve injury. *Pain*. 1990; 43(2): 205-18.
4. Dickenson AH, Matthews EA, Suzuki R. Neurobiology of neuropathic pain: mode of action of anticonvulsants. *Eur J Pain*. 2002; 6(SA): 51-60.
5. Qu Y, Curtis R, Lawson D, Gilbride K, Ge P, DiStefano P, et al. Differential modulation of sodium channel gating and persistent sodium currents by the  $\beta 1$ ,  $\beta 2$ , and  $\beta 3$  subunits. *Mol Cell Neurosci*. 2001; 18(5): 570-80.
6. Chen C, Bharucha V, Chen Y, Westenbroek RE, Brown A, Malhotra JD, et al. Reduced sodium channel density, altered voltage dependence of inactivation, and increased susceptibility to seizures in mice lacking sodium channel  $\beta 2$ -subunits. *PNAS*. 2002; 99(26): 17072-7.
7. Frank HY, Yarov-Yarovoy V, Gutman GA, Catterall WA. Overview of molecular relationships in the voltage-gated ion channel superfamily. *Pharmacol Rev*. 2005; 57(4): 387-95.
8. Brünger AT. X-ray crystallography and NMR reveal complementary views of structure and dynamics. *Nat Struct Biol*. 1997; 4: 862-5.
9. Brunger AT, Adams PD, Clore GM, DeLano WL, Gros P, Grosse-Kunstleve RW, et al. Crystallography & NMR system: A new software suite for macromolecular structure determination. *Acta Crystallogr D Biol Crystallogr*. 1998; 54(5): 905-21.
10. Biasini M, Bienert S, Waterhouse A, Arnold K, Studer G, Schmidt T, et al. SWISS-MODEL: modelling protein tertiary and quaternary structure using evolutionary information. *Nucleic Acids Res*. 2014; 12(Web Server issue): W252-8.
11. Bordoli L, Kiefer F, Arnold K, Benkert P, Battey J, Schwede T. Protein structure homology modeling using SWISS-MODEL workspace. *Nat Protoc*. 2008; 4(1): 1-13.
12. Rodriguez R, Chinea G, Lopez N, Pons T, Vriend G. Homology modeling, model and software evaluation: three related resources. *Bioinformatics*. 1998; 14(6): 523-8.

13. Arnold K, Bordoli L, Kopp J, Schwede T. The SWISS-MODEL workspace: a web-based environment for protein structure homology modelling. *Bioinformatics*. 2006; 22(2): 195-201.
14. Schwede T, Kopp J, Guex N, Peitsch MC. SWISS-MODEL: an automated protein homology-modelling server. *Nucleic Acids Res.* 2003; 31(13): 3381-5.
15. Wallner B, Elofsson A. All are not equal: a benchmark of different homology modeling programs. *Protein Sci.* 2005; 14(5): 1315-27.
16. Wendt KS, Schall I, Huber R, Buckel W, Jacob U. Crystal structure of the carboxyltransferase subunit of the bacterial sodium ion pump glutamyl-coenzyme A decarboxylase. *EMBO J.* 2003; 22(14): 3493-502.
17. Hazama A, Kozono D, Guggino WB, Agre P, Yasui M. Ion permeation of AQP6 water channel protein single-channel recordings after Hg<sup>2+</sup> activation. *J Biol Chem.* 2002; 277(32): 29224-30.
18. Rajesh R, Gunasekaran K, Muthukumaravel S, Balaraman K, Jambulingam P. In Silico analysis of volt age-gated sodium channel in relation to DDT resistance in vector mosquitoes. *In Silico Biol.* 2007; 7(4): 413-21.
19. Parsaeyan N, Mozaffari-Khosravi H, Absalan A, Mozayan MR. Beneficial effects of cocoa on lipid peroxidation and inflammatory markers in type 2 diabetic patients and investigation of probable interactions of cocoa active ingredients with prostaglandin synthase-2 (PTGS-2/COX-2) using virtual analysis. *J Diabetes Metab Disord.* 2014; 13(1): 30.
20. Cavasotto CN, Phatak SS. Homology modeling in drug discovery: current trends and applications. *Drug Discov Today.* 2009; 14(13-14): 676-83.
21. Nilsson MF, Sköld AC, Ericson AC, Annas A, Vil lar RP, Cebers G, et al. Comparative effects of sodium channel blockers in short term rat whole embryo culture. *Toxicol Appl Pharmacol.* 2013; 272(2): 306-12.